



مطالعه ساختار نامتقارن قرص‌های پیش سیاره‌ای با استفاده از روش طیفی

محمود قلی‌پور*

۱. مرکز تحقیقات نجوم و اختوفیزیک مرااغه، دانشگاه مرااغه

پست الکترونیکی: gholipour@riaam.ac.ir

(دریافت مقاله: ۱۴۰۰/۰۹/۰۴؛ دریافت نسخه نهایی: ۱۴۰۱/۰۴/۰۶)

چکیده

قرص‌های برافراشی، در سراسر عالم هستی حضوری پررنگ و حیاتی دارند. از قرص‌های کهکشانی گرفته تا قرص‌های پیش سیاره‌ای که سیارات از آنها متولد می‌شوند، همگی در زمرة قرص‌های برافراشی قرار می‌گیرند. بنابراین مطالعه ساختار قرص‌های واقعی در مقابل قرص‌های آرمانی (مانند زمانی که آنها کاملاً متقاض محوی نیستند)، مفید خواهد بود. در این پژوهش، قصد داریم ساختار یک قرص پیش سیاره‌ای را، که تقارن آن توسط یک جسم پر جرم ثانوی مختل شده است، مورد بررسی قرار دهیم. با بررسی اثر گرانشی جسم ثانوی، مشاهده می‌کنیم که علاوه بر تغییرات شعاعی، تغییرات سمتی (یا زاویه‌ای) نیز مهم می‌شوند. بعد از فرمول‌بندی مسئله، ما با یک دسته از معادله دیفرانسیل‌های پاره‌ای (دو متغیره، شعاعی و سمتی) مواجه می‌شویم. لذا با استفاده از روش‌های تحلیلی، این معادلات تبدیل به یک مجموعه نامتناهی (سری) از معادلات معمولی (تک متغیره) می‌شود. برای این مقصود، ما از روش طیفی، که یک روش قدرتمند برای تبدیل معادلات دیفرانسیل جزیی به معادلات دیفرانسیل معمولی است، استفاده می‌کنیم. پرسش مهمی که در این پژوهش به دنبال پاسخ آن هستیم، این است که وارد کردن اثر گرانشی جسم دوم، چه رفتارهای فیزیکی جدیدی به مسئله وارد می‌کنند؟ و آیا این تغییرات اساساً مهم هستند یا قابل صرفنظر کردن؟ با پاسخ به این سوالات می‌توانیم بفهمیم که آیا اساساً حضور جسم دوم در تشکیل سیارات در نواحی فی ما بین، نقش سازنده دارد یا مخرب. اگرچه ما مسئله را برای قرص‌های پیش سیاره‌ای حل می‌کنیم، اما نتایج ممکن است در مطالعه قرص‌های برافراشی در سامانه‌های دوتابی مفید واقع شود.

واژه‌های کلیدی: اختوفیزیک، اثر گرانشی، روش طیفی، قرص‌های برافراشی، ناپایداری، معادلات دیفرانسیل جزئی، معادلات دیفرانسیل معمولی.

۱. مقدمه

که هر کدام موفقیت‌ها و شکست‌هایی داشته‌اند. برای مثال، قرص‌های برافراشی شاکورا و سونیف قرص‌های پهن رفت غالب^۱، قرص‌های لاغر و قرص‌های تاب خورده^۲ تنها بخشی از مدل‌های قرص برافراشی هستند [۱۵-۱].

شکل‌گیری قرص‌های برافراشی اطراف جسم مرکزی، یکی از زیباترین و مهم‌ترین پدیده‌های فیزیکی در عالم هستی است. در دهه‌های اخیر، مدل‌های بسیار متنوع و گوناگونی، برای قرص‌های برافراشی توسط افراد مختلف پیشنهاد شده است،

^۱. ADAF disc^۲. Warped accretion disc

را با استفاده از روش‌های عددی حل می‌کنیم و در فصل پنجم، نتایج به دست آمده را مورد بحث و بررسی قرار می‌دهیم.

۲. فرمول‌بندی مسئله

در این بخش، یک قرص برافزایشی اطراف یک جسم مرکزی را بررسی می‌کنیم که توسط اثر گرانشی جسم ثانویه مختل شده است. لازم به ذکر است که قرص از لحاظ هندسی لاغر و نازک فرض می‌شود. همچنین معادلات را در امتداد محور z و در دستگاه مختصات استوانه‌ای در نظر می‌گیریم. مبدأ دستگاه مختصات را ببروی جسم مرکزی در نظر می‌گیریم، تا کار را برای بررسی کردن تغییراتی که تابعی از φ و r است راحت‌تر کند.

همچنین جسم دوم با جرم M_* در فاصله d از جسم مرکزی با جرم M قرار گرفته شده است. در این صورت پتانسیل Φ ، در شعاع و زاویه دلخواه می‌تواند به صورت زیر نوشته شود:

$$\Phi_t(r, \varphi) = \Phi(r) + \Psi(r, \varphi), \quad (1)$$

که Φ تابع پتانسیل مربوط به جسم مرکزی و Ψ تابع پتانسیل مربوط به جسم ثانویه است که در یک نقطه اختیاری در ناحیه بین دو جسم ($r < d$) می‌تواند به صورت زیر نوشته شود:

$$\Psi(r, \varphi) = -\frac{GM_*}{\sqrt{r^2 + d^2 - 2rd \cos \varphi}}, \quad (2)$$

G ثابت گرانش جهانی است. رادیکال در رابطه (۲)، در ناحیه ($r < d$) می‌تواند به صورت یک سری دو جمله‌ای نامحدود بسط یابد، به طوری که:

$$\Psi(r, \varphi) = -\frac{GM_*}{d} \sum_{l=0}^{\infty} \left(\frac{r}{d}\right)^l P_l(\cos \varphi) \quad r < d, \quad (3)$$

که P_l تابع لژاندر با شاخص l هستند. همچنین بررسی مشتق Ψ نسبت به φ ، r ، بسیار مفید خواهد بود. می‌توان نوشت:

$$\frac{\partial \Psi(r, \varphi)}{\partial r} = -\sigma \frac{GM_*}{d^2} \sum_{l=0}^{\infty} l \frac{x^l}{x} P_l(\cos \varphi), \quad (4)$$

$$\frac{\partial \Psi(r, \varphi)}{\partial \varphi} = -\sigma \frac{GM_*}{r} f'(\varphi), \quad (5)$$

در این میان، قرص برافزایشی مدل آلفا (قرص شاکورا و سونیف) به عنوان قرص‌های برافزایشی استاندارد شناخته می‌شوند که از نظر هندسی نازک و از لحاظ اپتیکی، ضخیم هستند. در این مدل، مواد داخل قرص برافزایشی با سرعت زاویه‌ای تقریباً کپلری می‌چرخند و وشکسانی تلاطمی عاملی مؤثر برای کاهش اندازه حرکت زاویه‌ای معرفی می‌شود. در این راستا، مطالعات بسیار خوبی نسبت به مدل‌های دیگر صورت پذیرفته است؛ زیرا اکثر قرص‌ها از جمله قرص‌های پیش سیاره‌ای در این دسته‌بندی قرار می‌گیرند.

در هر صورت، برای آشنایی با مدل قرص‌های برافزایشی، مطالعه ساختار قرص برای مقایسه نتایج به دست آمده از مدل، با شواهد رصدی بسیار مفید است. به همین دلیل، بررسی ساختار شعاعی و عمودی قرص‌ها، در بسیاری از کارهای شبیه‌سازی و تحلیلی مورد توجه قرار گرفته است.

برای مثال ناریان و بی (۱۹۹۵) با استفاده از فرض خود مشابهی سیال در راستای شعاعی، ساختار قرص در راستای عمودی را در سیستم مختصات کروی مورد مطالعه قرار دادند [۱۵]. اما آنها سهم برون رفت مواد در راستای عمودی را در نظر نگرفتند. در سال ۲۰۱۱، جیاو و وی به بررسی این موضوع در قرص‌های برافزایشی پرداختند [۱۶]. این بررسی‌ها بعداً توسعه افراد بسیاری توسعه داده شده است [۲۲-۱۷].

با وجود کارهای خوبی که در این راستا انجام گرفته است، ساختار قرص‌ها در اغلب اوقات، در راستای سمتی متقاضان در نظر گرفته شده است. به عبارت دیگر با وجود تلاش‌های خیلی خوبی که در راستای شعاعی و عمودی قرص صورت پذیرفته، ساختار یک قرص ایستا در راستای سمتی (برای جلوگیری از محاسبات پیچیده ریاضیاتی) به طور کامل بررسی نشده است. لذا در این مقاله قصد داریم، ساختار یک قرص پیش سیاره‌ای را، که توسط یک سیاره پر جرم مختل شده است، مورد بررسی قرار دهیم. بدین منظور در بخش بعدی (بخش دوم) مسئله را فرمول‌بندی می‌کنیم. همچنین در بخش سوم، با استفاده از روش طیفی، معادلات به دست آمده در بخش دوم را حل می‌کنیم. در بخش چهار، معادله دیفرانسیل‌های به دست آمده در بخش سه

که داریم:

$$f'(\phi) = \sigma \frac{GM_*}{d} \sum_{l=0}^{\infty} x^l \frac{\partial P_l(\cos\phi)}{\partial \phi},$$

و $x = \frac{r}{d}$ شعاع بی بعد (نسبت شعاع به فاصله دو جسم)

$\sigma = M_* / M$ جرم بی بعد است (نسبت جرم جسم دوم به جسم مرکزی). در ادامه مسئله را با نوشتن معادلات (که از آنها در راستای z انتگرال گیری شده است) در فضای غیر لخت

(چارچوب چرخان) توسعه می‌دهیم. برای این منظور محور x را روی خط واصل بین دو جسم تنظیم می‌کنیم، به طوری که

جسم دوم حول محور z با سرعت زاویه‌ای کپلری Ω_*

پوچرخد. معادلات پایه‌ای در زیر آمده است:

رابطه پیوستگی:

$$\frac{\partial \Sigma}{\partial t} + \nabla \cdot (\Sigma V) = 0, \quad (6)$$

معادله حرکت:

$$\frac{\partial V}{\partial t} + (V \cdot \nabla) V + 2\Omega_* \cdot V + \Omega_* \cdot (\Omega_* \cdot r) = -\frac{1}{\Sigma} \nabla p - \nabla \Phi_t + \frac{1}{\Sigma} \nabla \cdot T, \quad (7)$$

و معادله حالت:

$$p = c_s \Sigma, \quad (8)$$

که Σ ، V ، p ، T و c_s به ترتیب چگالی سطحی، بردار سرعت، فشار گاز، تانسور وشکسانی و سرعت صوت هستند.

فرض می‌شود که قرص در حال ایستا است ($\frac{\partial}{\partial t} = 0$)

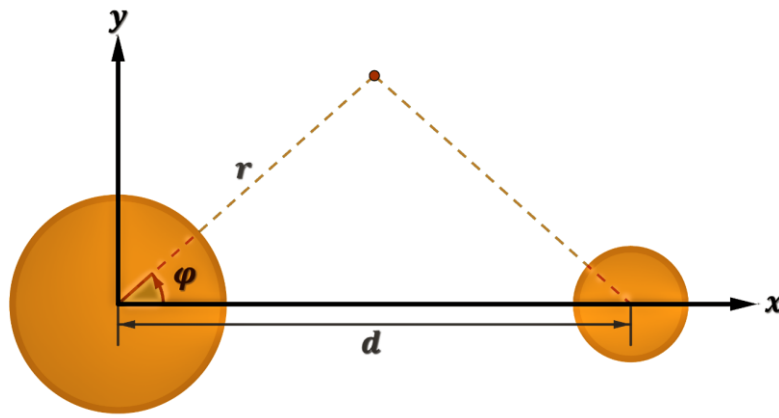
همچنین مفروضات استاندارد دیگری هم به صورت زیر وجود دارند:

۱. فرض می‌شود که جسم مرکزی به اندازه کافی پر جرم است، به طوری که مرکز جرم دو جسم، نزدیک به مرکز جسم مرکزی است. بنابراین جسم دوم با سرعت $\Omega_* \approx \sqrt{GM/d^3}$ می‌چرخد.

۲. مدل آلفا برای وشکسانی استفاده می‌شود [۱]. همچنین ما فرض می‌کنیم که عنصر Φ تانسور وشکسانی، در قرص غالب است: $T_{r\phi} = \alpha p$ که α ضریب وشکسانی است [۲].

۳. حل با روش طیفی

در بخش قبل دیدیم که تابع پتانسیل جسم دوم بر حسب یک سری نامتناهی از توابع لزاندر قابل بیان است. از طرف دیگر، همان طور که می‌دانیم ($P_n(z)$ ، یک مجموعه کامل از توابع متعامد در بازه $-1 \leq z \leq 1$) تشکیل می‌دهند. در واقع، هر تابع خوش رفتار در این بازه (یعنی بین -1 و 1) می‌تواند بر حسب یک سری از توابع لزاندر بیان شود (برای



شکل ۱. طرحواره یک سیستم دوتایی که جرم مرکزی M در سمت چپ و جرم ثانوی M_* در سمت راست قرار دارد.

راحت‌تر خواهد بود. برای این منظور، ما رابطه بالا را در

ضرب می‌کنیم که حاصل به شرح زیر است:

$$\sum_{n=0}^{\infty} \sum_{m=0}^{\infty} \left(\frac{\sum_m u_n}{x} + u_n \frac{d \Sigma_m}{dx} + \Sigma_m \frac{du_m}{dx} \right) P_n(\cos\varphi) \\ P_m(\cos\varphi) + \sum_{n=0}^{\infty} \sum_{m=0}^{\infty} \frac{\Sigma_n v_m}{x} \left[P'_n(\cos\varphi) P_m(\cos\varphi) + P_n(\cos\varphi) P'_m(\cos\varphi) \right] = 0, \quad (15)$$

اگر همین عملیات را روی روابط (۱۰) و (۱۱) انجام دهیم، خواهیم داشت:

$$\sum_{n=0}^{\infty} \sum_{m=0}^{\infty} \left(u_n \frac{du_m}{dx} - u_n \frac{u_m}{x} \right) P_n(\cos\varphi) P_m(\cos\varphi) + \\ \frac{1}{x} - \sigma \sum_{m=0}^{\infty} m x^{m-1} P_m(\cos\varphi) + \sum_{n=0}^{\infty} \sum_{m=0}^{\infty} \frac{u_n v_m}{x} P'_n(\cos\varphi) P_m(\cos\varphi) + c_* \frac{d}{dx} \ln \left(\sum_{n=0}^{\infty} (\Sigma_n P_n(\cos\varphi)) \right) \quad (16)$$

$$- \gamma \sum_{n=0}^{\infty} u_n P_n(\cos\varphi) - x = 0,$$

$$\sum_{n=0}^{\infty} \sum_{m=0}^{\infty} \left(\frac{dv_m}{dx} u_n - \frac{u_n v_m}{x} \right) P_n(\cos\varphi) P_m(\cos\varphi) + \\ \sum_{n=0}^{\infty} \sum_{m=0}^{\infty} \frac{v_n v_m}{x} P'_n(\cos\varphi) P_m(\cos\varphi) + c_* \frac{d}{d\varphi} \ln \left(\sum_{n=0}^{\infty} (\Sigma_n P_n(\cos\varphi)) \right) - \alpha_* \frac{d}{dx} \ln \left(\sum_{n=0}^{\infty} (\Sigma_n P_n(\cos\varphi)) \right) \\ - \frac{\gamma \alpha_*}{x} - \frac{\sigma}{x} \sum_{n=0}^{\infty} x^n P'_n(\cos\varphi) + \gamma \sum_{n=0}^{\infty} v_n P_n(\cos\varphi) = 0, \quad (17)$$

اطلاعات بیشتر به پیوست مراجعه کنید). این بدان معناست که، ما باید داشته باشیم:

$$-1 \leq z \equiv \cos\varphi \leq 1$$

$$0 \leq \varphi \leq \pi$$

از طرف دیگر، همان طور که شکل ۱ نشان می‌دهد مسئله نسبت به محور x ها تقارن آینه‌ای دارد. بنابراین بازه فوق برای مسئله ما کفایت می‌کند. به عبارت دیگر، متغیرهای فیزیکی مسئله در بازه فوق می‌توانند به صورت زیر بیان شوند:

$$(r, \varphi) = \sum_{m=0}^{\infty} (r) P_m(\cos\varphi) p(r, \varphi) = \sum_{m=0}^{\infty} p_m(r) P_m(\cos\varphi) \\ v_r(r, \varphi) = \sqrt{\frac{GM}{d}} \sum_{m=0}^{\infty} u_m(r) P_m(\cos\varphi) \quad v_{\varphi}(r, \varphi) = \\ \sqrt{\frac{GM}{d}} \sum_{m=0}^{\infty} v_m(r) P_m(\cos\varphi), \quad (13)$$

همچنین، سرعت صوت را به صورت $c_s = c_* \sqrt{\frac{GM}{d}}$ که یک ضریب بی بعد است، در نظر می‌گیریم. با جایگذاری روابط (۱۳) در رابطه (۹) به دست می‌آید:

$$\sum_{n=0}^{\infty} \sum_{m=0}^{\infty} \left(\frac{\Sigma_m u_n}{r} + u_n \frac{d \Sigma_m}{dr} + \Sigma_m \frac{du_m}{dr} \right) \\ P_n(\cos\varphi) P_m(\cos\varphi) + \sum_{n=0}^{\infty} \sum_{m=0}^{\infty} \frac{\Sigma_n v_m}{r} \left[P'_n(\cos\varphi) P_m(\cos\varphi) + P_n(\cos\varphi) P'_m(\cos\varphi) \right] = 0, \quad (14)$$

اگر رابطه فوق را بر حسب x بنویسیم، کار با آنها بسیار

و الى آخر. همان طورکه مشاهده می‌شود، مجموعه‌های زوج و فرد اختلاف ساختاری در داشتن σ دارند. با این وجود حل عددی این مجموعه معادلات مطرح شده چالش بسیار بزرگ‌تری را می‌طلبد که در فصل بعد آن را بررسی می‌کیم.

۴. روش‌های عددی

در این فصل، برای حل کردن مجموعه‌ای از روابط، روش‌های عددی را بررسی می‌کنیم. همچنان که می‌دانیم، هر متغیر فیزیکی در رابطه (۱۳) از یک سری نامحدود از توابع لزاندر تشکیل شده است. در حل عددی، این سری‌ها تا یک عدد معین در نظر گرفته می‌شوند؛ مانند زیر:

$$\Sigma(r,\varphi) \equiv \sum_{m=0}^N m(r) P_m(\cos\varphi), \quad (27)$$

که N یک عدد بزرگ است. خوب‌بختانه، لازم نیست N در مسئله ما خیلی بزرگ باشد. N کوچک‌تر از ده، تقریب بسیار خوبی به ما می‌دهد. دلیل این موضوع این است که مقادیر P_m ‌ها با بزرگ شدن N سریع به سمت صفر میل می‌کنند. به عبارت دیگر، کافی است ده جمله اول از روابط را نگه داریم (اگر m بزرگ‌تر از ۱۰ باشد، $=0$). این روش، اگرچه کاملاً دقیق نیست ولی تخمین قابل قبولی است. بنابراین، ما ده سری از روابط را بررسی می‌کنیم که باید با هم حل شوند (جمعاً ۳۰ رابطه). یکی از روش‌های مشهور برای حل کردن روابط مشتق با یک متغیر، روش رانگ-کوتا است [۲۳]. از این‌رو، ما از روش رانگ-کوتای مرتبه ۴ برای حل کردن این مجموعه روابط استفاده می‌کنیم. به هرحال، مشکل بزرگ‌تر دیگر، پیداکردن شرایط مرزی مناسب است.

اگر " $r \ll d$ " (یا $d \gg r$) یعنی جسم دوم در فاصله زیادی از جسم مرکزی باشد، می‌توانیم فرض کنیم که قرص در این ناحیه تقریباً متقارن محوری است. از این‌رو، در این نواحی روابط زیر پیشنهاد می‌شود:

$$\Sigma \sim \beta \cdot r^{-n}, \quad v_r \sim -\epsilon \cdot r^{-s}, \quad v_\varphi \sim K \cdot r^{-\frac{1}{2}}, \quad (r \ll d) \quad (28)$$

و s ثابت هستند. از طرف دیگر ما باید داشته باشیم:

که α_* به صورت αC_*^2 تعریف شده است. حال اگر در روابط (۱۵) تا (۱۷)، $z = \cos\varphi$ فرض کنیم و سپس از روابط بالا نسبت به z از ۱ تا ۱ انتگرال بگیریم، نتیجه، گروه نامحدودی از معادلات دیفرانسیل معمولی (با مشتق نسبت به یک متغیر) است، به طوری که فقط توابعی از x باقی می‌مانند. نتایج، بعد از اندکی محاسبات به شرح زیر است:

مجموعه اول معادلات:

$$\frac{1}{2} \left(\frac{\Sigma u_0}{x} + u_0 \frac{d\Sigma_0}{dx} + \Sigma_0 \frac{du_0}{dx} \right) - \frac{\pi}{2} \frac{\Sigma_0 v_0}{x} = 0, \quad (18)$$

$$\begin{aligned} & \frac{1}{2} \left(u_0 \frac{du_0}{dx} - v_0 \frac{v_0}{x} \right) - 4u_0 - 2x + \\ & \frac{1}{x^2} - \frac{\pi}{2} \frac{u_0 v_0}{x} + \frac{2C_*^2}{\Sigma_0} \frac{d\Sigma_0}{dx} = 0, \end{aligned} \quad (19)$$

$$\begin{aligned} & \frac{1}{2} \left(u_0 \frac{dv_0}{dx} - u_0 \frac{v_0}{x} \right) + 4v_0 - \frac{4\alpha_*}{x} \\ & - \frac{\pi}{2} \frac{v_0 v_1}{x} - \frac{2\alpha_*}{\Sigma_0} \frac{d\Sigma_0}{dx} = 0, \end{aligned} \quad (20)$$

همچنین مجموعه دوم از معادلات:

$$\frac{1}{3} \left(\frac{\Sigma_1 u_1}{x} + u_1 \frac{d\Sigma_1}{dx} + \Sigma_1 \frac{du_1}{dx} \right) + \frac{\pi}{16} \left(\frac{\Sigma_1 v_2}{x} - \frac{6\Sigma_2 v_1}{x} \right) = 0,$$

و

$$\begin{aligned} & \frac{1}{3} \left(u_1 \frac{du_1}{dx} - v_1 \frac{v_1}{x} \right) + \frac{\pi}{16} \left(\frac{u_2 v_1}{x} - \frac{6u_1 v_2}{x} \right) \\ & - \frac{1}{3} C_*^2 \frac{\Sigma_1}{\Sigma_0} \frac{d\Sigma_1}{dx} = 0, \end{aligned} \quad (21)$$

$$\begin{aligned} & \frac{1}{3} \left(u_1 \frac{dv_1}{dx} - u_1 \frac{v_1}{x} \right) - \frac{5\pi}{16} \frac{v_1 v_2}{x} + \\ & \frac{1}{3} \alpha_* \frac{d\Sigma_1}{\Sigma_0} + \frac{\pi}{2} \sigma + \frac{5\pi C_*^2}{16} \frac{\Sigma_1 \Sigma_2}{\Sigma_0} = 0, \end{aligned} \quad (22)$$

و مجموعه سوم معادلات:

$$\begin{aligned} & \frac{1}{5} \left(\frac{\Sigma_2 u_2}{x} + u_2 \frac{d\Sigma_2}{dx} + \Sigma_2 \frac{du_2}{dx} \right) + \\ & \frac{\pi}{64} \left(\frac{6\Sigma_2 v_3}{x} - \frac{21\Sigma_3 v_2}{x} \right) = 0, \end{aligned} \quad (24)$$

$$\begin{aligned} & \frac{1}{5} \left(u_2 \frac{du_2}{dx} - v_2 \frac{v_2}{x} \right) + \frac{\pi}{64} \left(\frac{6u_3 v_2}{x} - \frac{21u_2 v_3}{x} \right) \\ & - \frac{1}{5} C_*^2 \frac{\Sigma_2}{\Sigma_0} \frac{d\Sigma_2}{dx} = 0, \end{aligned} \quad (25)$$

$$\begin{aligned} & \frac{1}{5} \left(u_2 \frac{dv_2}{dx} + u_2 \frac{v_2}{x} \right) - \frac{5\pi}{64} \frac{v_2 v_3}{x} + \\ & \frac{1}{5} \alpha_* \frac{d\Sigma_2}{\Sigma_0} + \frac{15\pi C_*^2}{64} \frac{\Sigma_2 \Sigma_3}{\Sigma_0} = 0, \end{aligned} \quad (26)$$

البته مسئله برای v_φ کمی متفاوت است. برای نمونه $\sigma = 10^{-2}$ بیشترین مقدار خالص برای v_φ در $\varphi = 180^\circ$ اتفاق می‌افتد و کمترین مقدار خالص برای آن در $\varphi = 0^\circ$ رخ می‌دهد. به هر حال، صرف نظر از مقدار x نتیجه‌ای معکوس برای نمونه $\sigma = 10^{-4}$ به دست می‌آید.

شکل‌های ۷-۶ نمایانگر ساختار چگالی سطحی در مقابل زاویه سمتی برای مقادیر مشابه شکل‌های ۲ و ۳ است. همچنین این حالت‌ها نشان می‌دهند که نقطه اکسترمم Σ در ناحیه [80,100] ظاهر می‌شود. این نقاط بیشترین مقدار را در $\sigma = 10^{-2}$ دارند و صرف نظر از مقدار x ، کمترین مقدار را در $\sigma = 10^{-3}$ دارند.

۵. نتایج و کاربردهای اختر فیزیکی

وقتی که یک سیاره بزرگ (سیاره شبیه به مشتری)، در قرص پیش ستاره‌ای تشکیل می‌شود (یا به شاعع جدید جابه‌جا می‌شود)، فضای زیادی از قرص نامتقارن محوری می‌شود. همچنین در قرص‌های برافزايشی که متعلق به ستاره‌های دوتابی است کشش مربوط به جرم ثانویه آنقدر زیاد است که عملاً اثر آن بر روی تقارن قرص برافزايشی قابل اغماض نیست. بدیهی است که، فرض تقارن محوری همیشه برقرار نیست. در واقع، سؤال مهم که در اینجا مطرح است، این است که تحت چه شرایطی، فرض تقارن محوری معتبر است؟

هرچنان، مطالعاتی در این مورد، توسط شبیه‌سازی انجام گرفته است، اما مطالعه تحلیلی این موضوع، همچنان به طور کامل بررسی نشده است. در این پژوهش ما مدل ساده‌ای برای قرص‌های پیش سیاره‌ای پیشنهاد کردیم که تقارن محوری قرص توسط اثرات گرانشی سیاره حجم و پر جرم، مختل شده است. این اثرات گرانشی می‌تواند توسط میدان پتانسیل Ψ که تابعی از x و σ است بیان شود. همچنین، پتانسیل می‌تواند توسط سری‌های دو جمله‌ای بسط یابد و سپس بر حسب r/d و چند جمله‌ای لثاندر باز نویسی شود. ما از بسط توابع متعدد (چند جمله‌های لثاندر) استفاده می‌کنیم تا دستگاه معادلات

$$\dot{m} = -2\pi r \Sigma v_r, \quad (29)$$

(سرعت فروریزش ماده) ثابت است. همچنین، روابط پیشنهادی در رابطه (۲۸) باید در روابط پایه (روابط ۱۲-۹) زمانی که متقارن محوری هستند، صدق کنند. در نتیجه، ما راه حلی مانند شکل زیر پیشنهاد می‌کنیم:

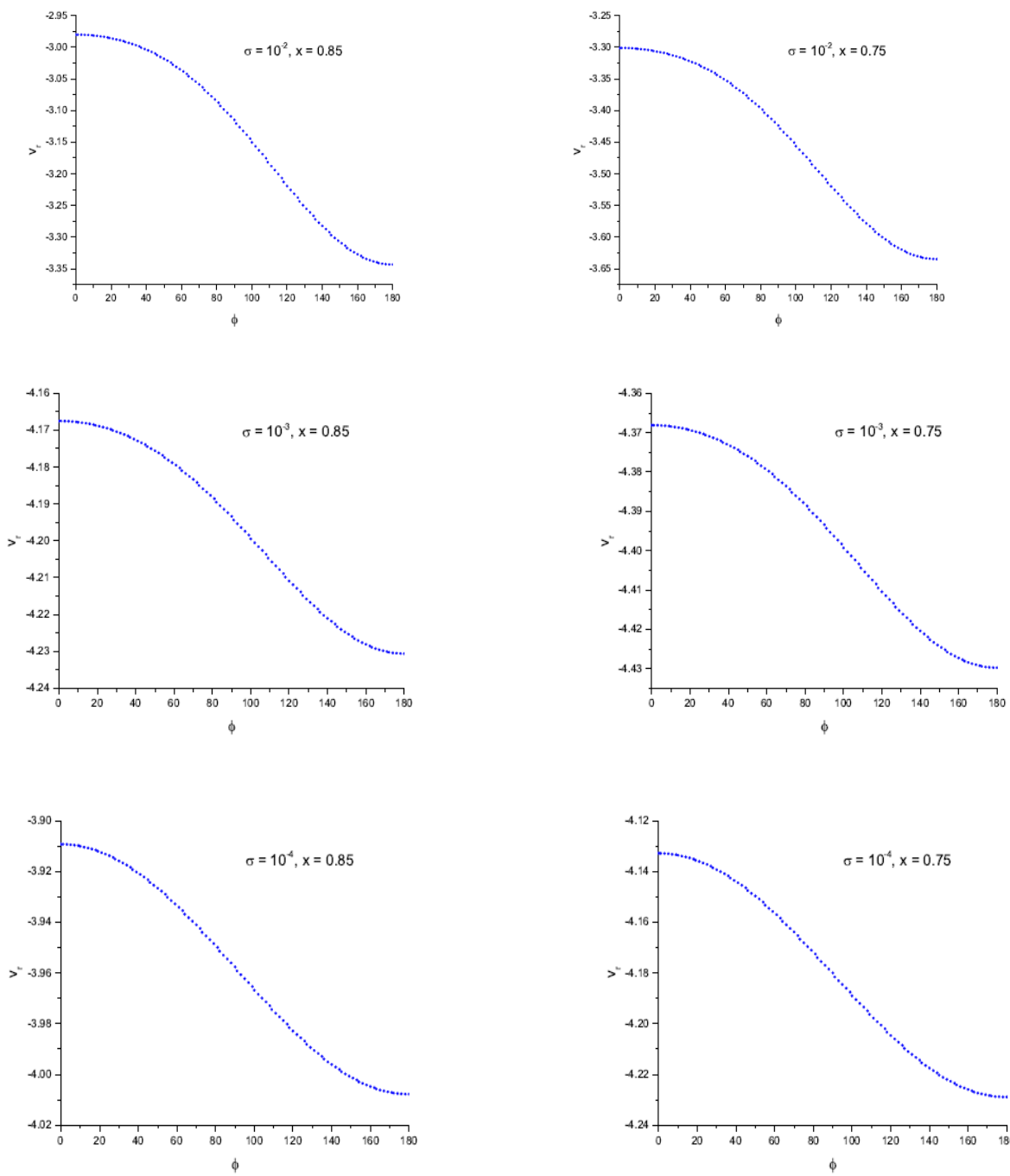
$$\Sigma \approx \frac{\beta_1}{x^2}, \quad v_r \approx -\frac{\epsilon_1}{x^2}, \quad v_\varphi \approx \frac{K_1}{x^2}, \quad (x \ll 1) \quad (30)$$

که صورت کسرها در روابط فوق ثابت هستند. شرایط مرزی در $x \rightarrow x_0$ به طوریکه $x_0 = R_0 / d$ (با بسط دادن رابطه (۳۰) به صورت سری مکلورن تابعی از x حول نقطه x_0 ، نتیجه زیر را در بر دارد:

$$\begin{aligned} x \rightarrow x_0 : v_\varphi &= K_1 \left(\frac{1}{\sqrt{x_0}} - \frac{1}{2\sqrt{x_0^3}}(x-x_0) + \frac{2}{8\sqrt{x_0^5}}(x-x_0)^3 + \dots \right), \\ v_r &= -\epsilon_1 \left(\frac{1}{\sqrt{x_0}} - \frac{1}{2\sqrt{x_0^3}}(x-x_0) + \frac{2}{8\sqrt{x_0^5}}(x-x_0)^3 + \dots \right), \\ \Sigma &= \beta_1 \left(\frac{1}{\sqrt{x_0}} - \frac{1}{2\sqrt{x_0^3}}(x-x_0) + \frac{2}{8\sqrt{x_0^5}}(x-x_0)^3 + \dots \right), \end{aligned} \quad (31)$$

اکنون، می‌توانیم مجموعه‌ای از روابط به دست آمده در بخش قبل را با دانستن معادلات بالا و پارامترهای اصلی حل کنیم. نتایج در شکل‌های ۲ تا ۷ خلاصه شده‌اند که مجموعاً ۳۶ نمودار هستند. شکل‌های ۲ و ۳ بیان‌کننده ساختار سرعت شعاعی در مقابل زاویه سمتی برای مقدارهای متفاوت: $\sigma = 0/85, 0/75, 0/65, 0/55$ و $x = 10^{-4}, 10^{-3}, 10^{-2}$ است. این شکل نشان می‌دهد که سرعت شعاعی نسبت به زاویه سمتی حساس است. بیشترین مقدار خالص v_r در $\varphi = 180^\circ$ و کمترین مقدار خالص آن در $\varphi = 0^\circ$ است. همچنین با کمتر شدن مقدار σ ، مقدار خالص v_r در شعاع ثابت افزایش می‌یابد. بنابر این ساختار v_r برای مقدارهای مختلف σ و x ثابت است.

شکل‌های ۴ و ۵ نشان‌دهنده ساختاری از سرعت سمتی در مقابل زاویه سمتی برای مقدار مشابه شکل‌های ۲ و ۳ است.



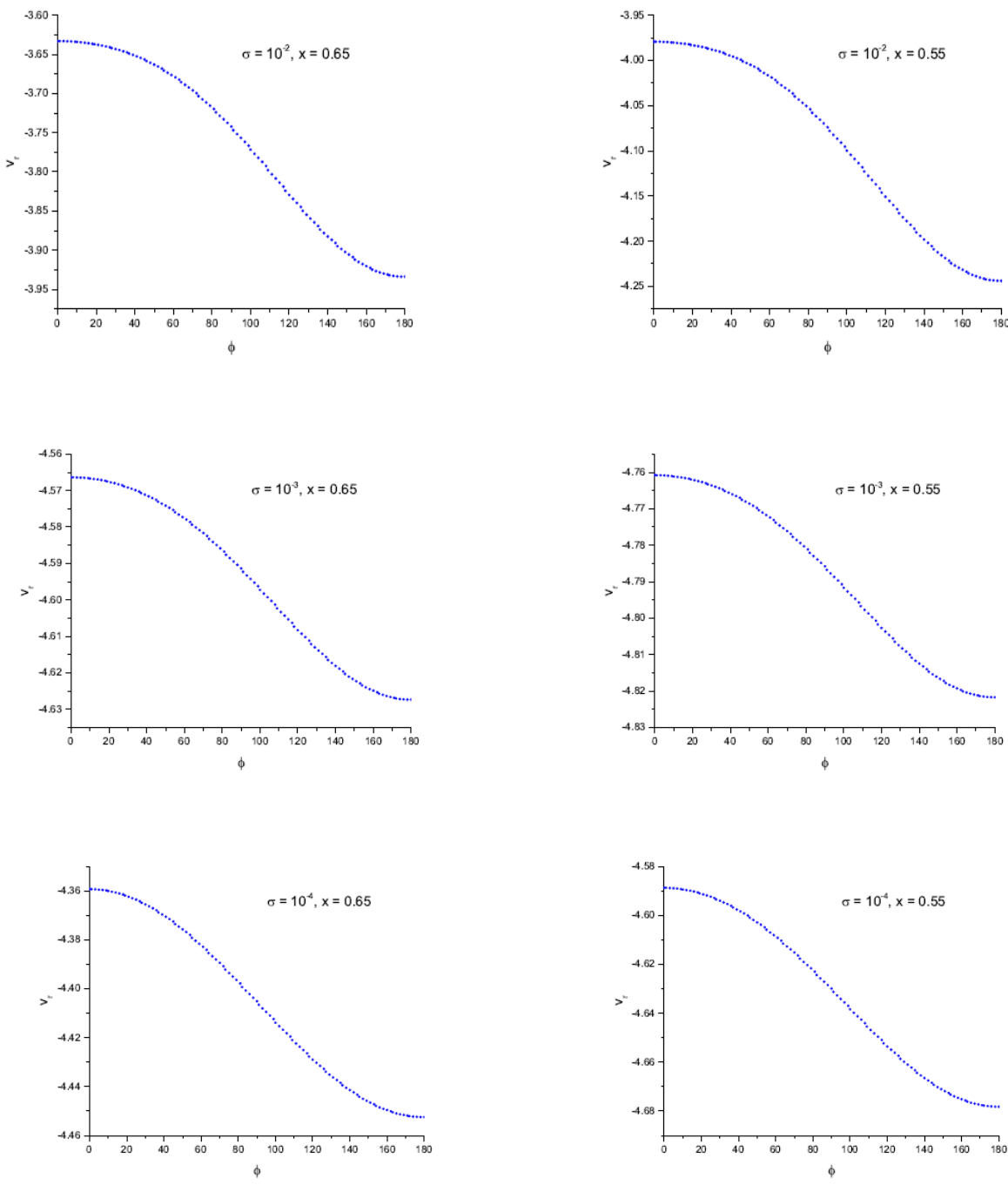
شکل ۲. نمودار تغییرات سرعت شعاعی نسبت به زاویه سمتی.

۱.۵. نتایج

خلاصه‌ای از نتایج مهم به شرح زیر است:

۱. با توجه به مقدار \sqrt{r} می‌توان گفت که برای انتقال اندازه حرکت زاویه‌ای، اطراف جسم دوم در مقدار و شکسانی کم

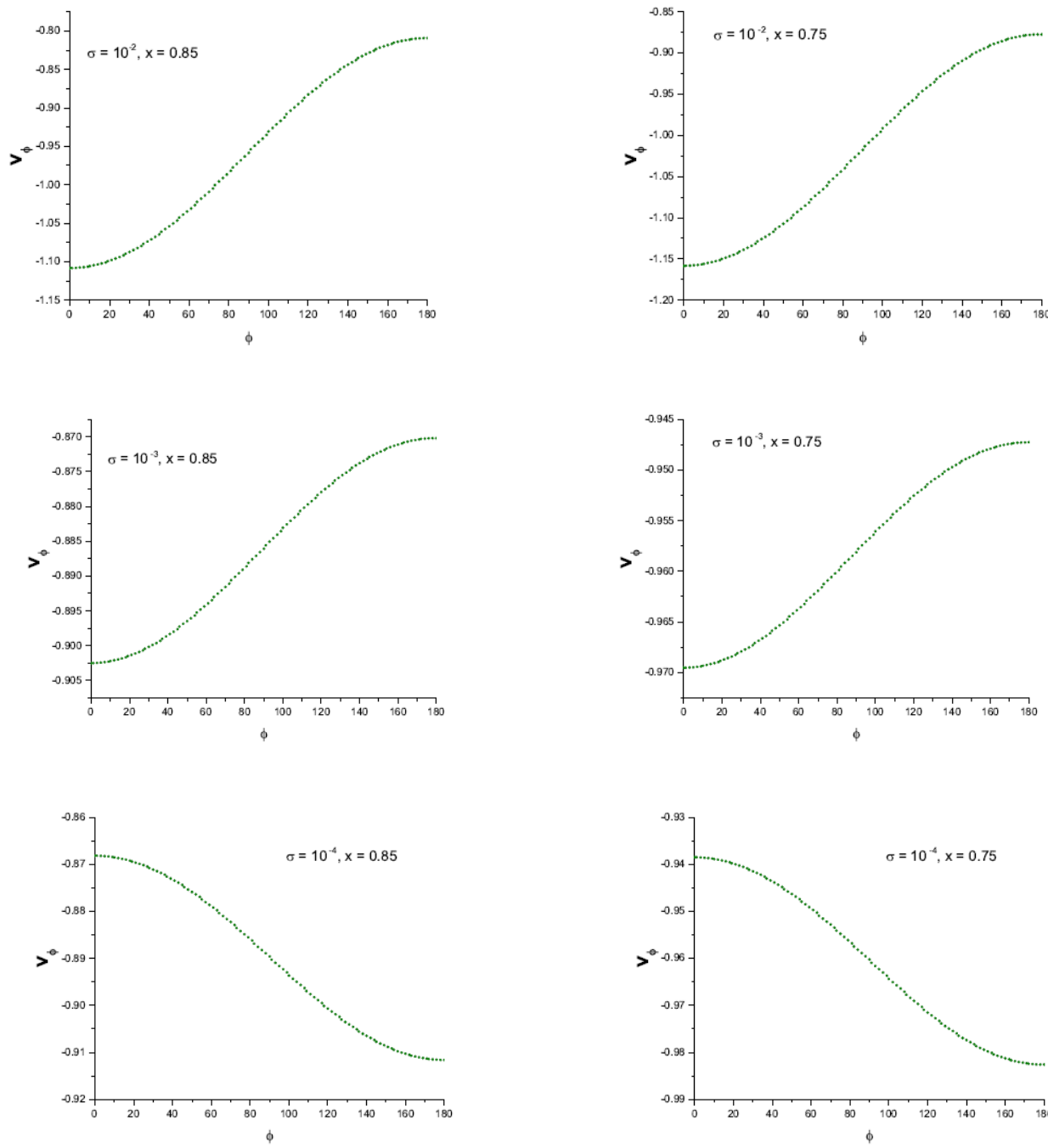
دیفرانسیل با مشتق جزئی (r, φ) را به معادلات دیفرانسیل معمولی که فقط تابعی از x هستند، تبدیل کنیم (این روش همچنین به روش طیفی مشهور است). سپس این مجموعه روابط با استفاده از شرایط مرزی مناسب حل شدند.



شکل ۳. نمودار تغییرات سرعت شعاعی نسبت به زاویه سمتی.

ثابت وجود دارد. در یک حالت ($\sigma = 10^{-2}$) چگالی سطحی در زاویه $\varphi \approx 95^\circ$ بیشترین میزان را دارد و در حالات دیگر $\varphi \approx 80^\circ$ و $\sigma = 10^{-4}$ به ترتیب در $\varphi \approx 70^\circ$ و $\sigma = 10^{-3}$ کمترین میزان را دارد. اما اگر به مقدار چگالی سطحی

($\alpha \rightarrow 0$) پتانسیل بالابی وجود دارد. بدینسان مطالعات بیشتر، برای دریافت جزئیات دقیق‌تر به نظر می‌تواند سودمند باشد. ۲. نتایج به دست آمده نشان می‌دهد که ساختار قرص در شعاع ثابت، به تغییرات سمتی خیلی حساس است؛ به طوری که نتایج نشان می‌دهد دو زاویه سمتی برای چگالی سطحی در شعاع

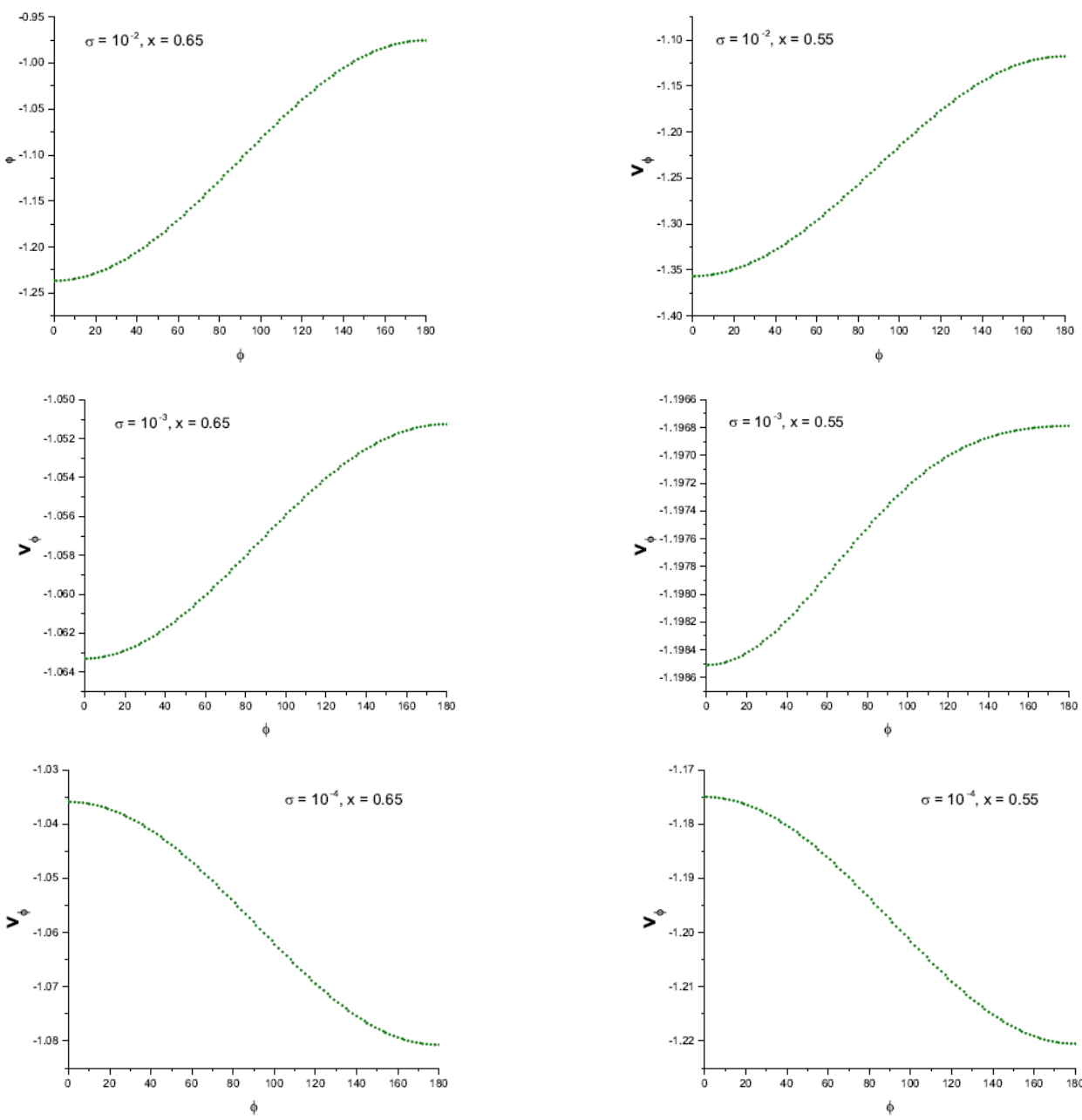


شکل ۴. نمودار تغییرات سرعت سمتی نسبت به زاویه سمتی.

سمتی حساس هستند. بیشترین مقدار برای V_r در $\phi = 180^\circ$ و کمترین مقدار در $\phi = 0^\circ$ است. اما موضوع برای V_ϕ ، اندکی متفاوت است.

برای حالت‌های $\sigma = 10^{-2}, 10^{-3}$ ، بیشینه مقدار V_ϕ در زاویه

دقیق کنیم، برای تولید خوده سیارات، بهترین حالت ممکن، حالت اول ($\alpha = 10^{-2}$) است. به طور خلاصه، جسم سنگین‌تر در تولید خوده سیارات می‌تواند مفیدتر از جسمی باشد که جرم زیادی ندارد. ۳. سرعت شعاعی و سرعت سمتی به تغییر زاویه



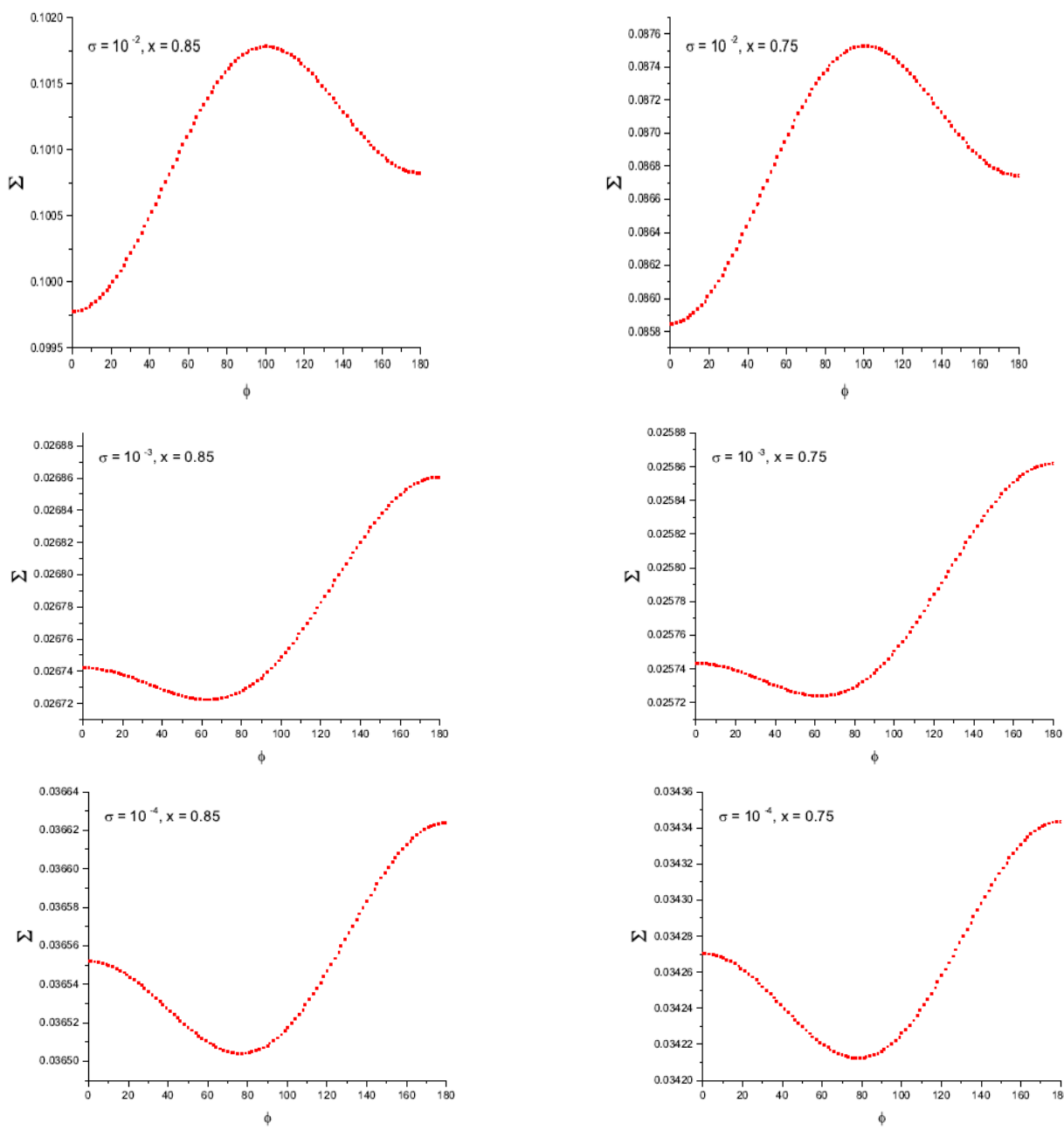
شکل ۵. نمودار تغییرات سرعت سمتی نسبت به زاویه سمتی.

مدل با شبیه‌سازی ذرات روان هیدرو دینامیک^۱ تکرار شود. میدان مغناطیسی جسم دوم می‌تواند عکس العمل شدیدی با میدان مغناطیسی قرص داشته باشد؛ مخصوصاً زمانی که جسم دوم میدان مغناطیسی قوی‌تری داشته باشد. همچنین، در آخر بررسی میدان مغناطیسی قرص و برهمن کنش جسم دوم با

۱۸۰ رخ می‌دهد و کمینه مقدار آن در زاویه صفر اتفاق می‌افتد. در هر حال نتیجه برای $\sigma = 10^{-4}$ بر عکس است. فارغ از مقدار x ، این موضوع در مطالعه طیف تابشی از قرص‌های پیش سیاره‌ای مهم است.

همچنین برای توسعه این مدل، بررسی کردن برخی موارد زیر می‌تواند مفید باشد. صرف نظر از شکل این ساختار، این

^۱. Smoothed-particle hydrodynamics (SPH)



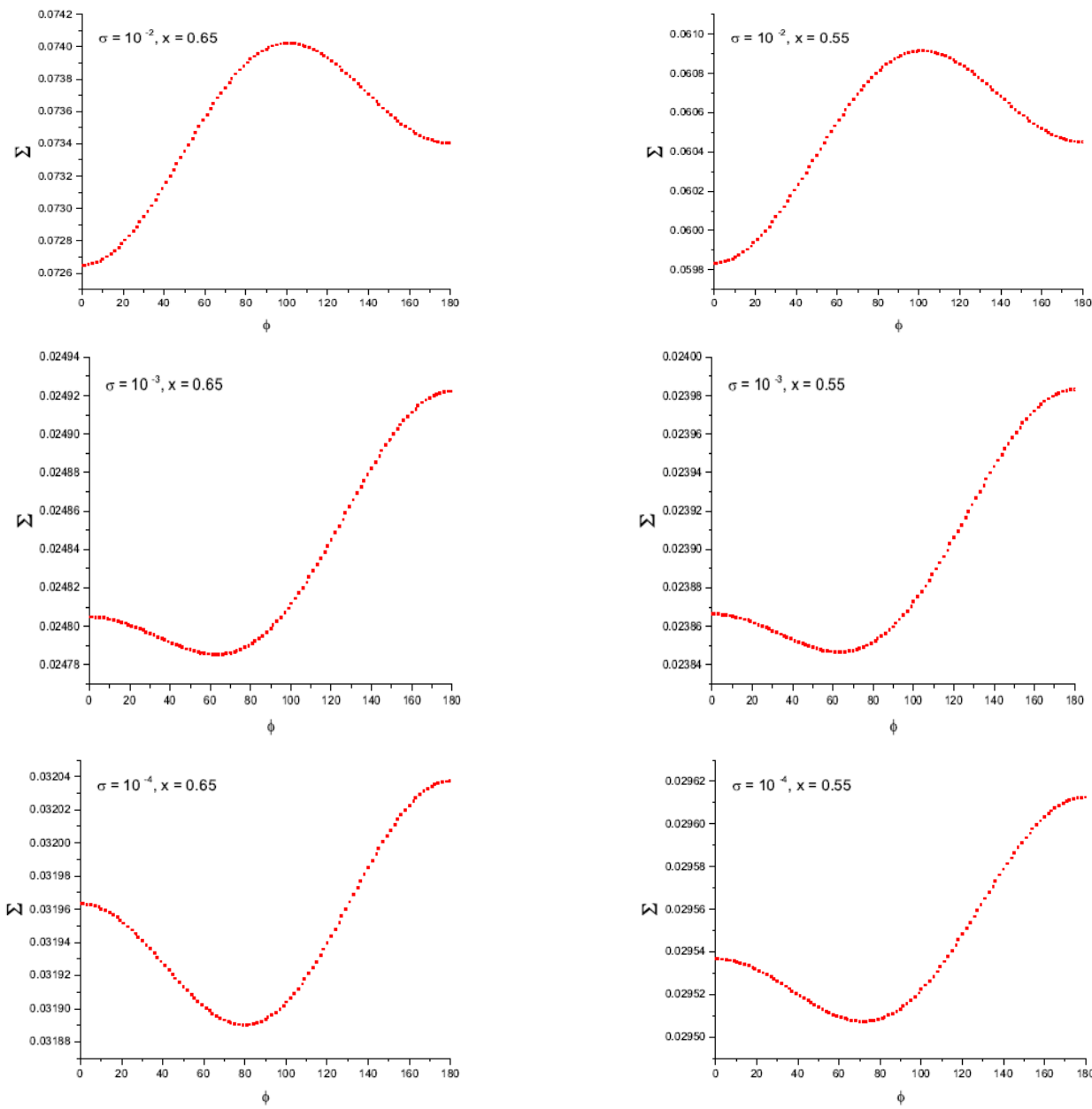
شکل ۶. نمودار تغییرات چگالی سطحی نسبت به زاویه سمتی.

پژوههای اخترفیزیکی این امر امکان پذیرتر شده است. شاید بهترین مثال در این مورد، تی دبليو مار باریک^۱ است که یک ستاره در صورت فلکی مار باریک است. این ستاره که جرمش در حدود ۸۰ درصد جرم خورشید است در فاصله ۱۷۶ سال نوری از زمین قرار دارد که می‌توان آن را، یک ستاره دارای قرص پیش سیاره‌ای تقریباً نزدیک به زمین محسوب کرد.

^۱. TW Hydreae

میدان مغناطیسی قرص، در مواردی که میدان قوی است می‌تواند بسیار مفید باشد.

۵.۲. کاربردهای اختر فیزیکی
اگرچه مشاهده سیارات در قرص‌های برافراشی به طور مستقیم تقریباً غیر ممکن است، اما به لطف پیشرفت‌های اخیر در



شکل ۷. نمودار تغییرات چگالی سطحی نسبت به زاویه سمتی.

همچنین در همین سال، در این قرص پیش سیاره‌ای، متنانول^۲، که یکی اجزای سازندهٔ حیات است، پیدا شد [۲۴]. همچنین در سال ۲۰۱۸، ترکیبات آلی را در این قرص پیش سیاره‌ای گزارش کردند. این موضوعات سبب افزایش توجهات بر این قرص پیش سیاره‌ای شده است [۲۵].

در سال ۲۰۲۰، جمعی از اخترفیزیکدانان با استفاده از

اخیراً مشاهدات رصدی از پروژه آلمای^۱، مشخص کردند که این قرص پیش سیاره‌ای احتمالاً محل زایش سیارات غول پیکر متعدد است.

در سال ۲۰۱۶، آلمای شواهدی یافت که در فاصله ۲۲ واحد نجومی، یک سیاره شبیه نپتون در حال شکل‌گیری است.

^۲. Methanol

^۱. Atacama Large Millimeter Array

در n درجه است. با بسط دادن تا t^5 به دست می‌دهد:

$$\begin{aligned} P_0(z) &= 1, \quad P_1(z) = z, \quad P_2(z) = \frac{1}{2}(3z^2 - 1), \\ P_3(z) &= \frac{1}{2}(5z^3 - 3z), \\ P_4(z) &= \frac{1}{8}(35z^4 - 30z^2 + 3), \\ P_5(z) &= \frac{1}{8}(63z^5 - 70z^3 + 15z), \end{aligned} \quad (\text{پ-۲})$$

در نتیجه انتگرال زیر خیلی ساده است:

$$\int_{-1}^1 P_n(z) P_m(z) dz = \frac{2\delta mn}{2n+1}, \quad (\text{پ-۳})$$

δ_{mn} همان دلتای کرونکر است که وقتی $m = n$ برابر با ۱ می‌شود و در صورت دیگر برابر با صفر است. در این قسمت مختصر کردن مجموع جملاتی مانند زیر که در روابط قبل تکرار می‌شوند، می‌تواند مفید باشد:

$$\begin{aligned} \Xi_x &= \frac{d}{dx} \int_0^\pi \ln \left(\sum_{n=0}^{\infty} (\Sigma_n P_n(\cos\phi)) \right) d\cos\phi = \\ &\int_0^\pi \frac{d\Sigma_0 / dx}{\Sigma_0 P_0(\cos\phi)} + \frac{d\Sigma_1 / dx}{\Sigma_0 P_1(\cos\phi)} + \dots \end{aligned} \quad (\text{پ-۴})$$

اگر ما مقسوم و مقسوم علیه کسر بالا را بر $\Sigma_0 P_0(\cos\phi)$ تقسیم کنیم، شکل جدیدی از مقسوم و مقسوم علیه مانند زیر به دست می‌آید، یعنی مقسوم:

$$\equiv \frac{1}{\Sigma_0} \frac{d\Sigma_0}{dx} + \frac{1}{\Sigma_0} \frac{d\Sigma_1}{dx} \frac{P_1(\cos\phi)}{P_0(\cos\phi)} + \frac{1}{\Sigma_0} \frac{d\Sigma_2}{dx} \frac{P_2(\cos\phi)}{P_0(\cos\phi)} + \dots \quad (\text{پ-۵})$$

و مقسوم علیه:

$$\equiv 1 + \frac{\Sigma_1}{\Sigma_0} \frac{P_1(\cos\phi)}{P_0(\cos\phi)} + \frac{\Sigma_2}{\Sigma_0} \frac{P_2(\cos\phi)}{P_0(\cos\phi)} + \dots, \quad (\text{پ-۶})$$

$$\begin{aligned} &\text{بنابراین می‌توانیم بنویسیم:} \\ &\equiv \left(\frac{1}{\Sigma_0} \frac{d\Sigma_0}{dx} + \frac{1}{\Sigma_0} \frac{d\Sigma_1}{dx} \frac{P_1(\cos\phi)}{P_0(\cos\phi)} + \dots \right) \\ &\quad \left(1 + \frac{\Sigma_1}{\Sigma_0} \frac{P_1(\cos\phi)}{P_0(\cos\phi)} + \dots \right)^{-1}, \end{aligned} \quad (\text{پ-۷})$$

با گسترش دادن پرانتز دوم، نتیجه زیر حاصل می‌شود:

طیف‌های دریافتی از آلما، چگالی سطحی بر حسب شعاع این قرص را مورد مطالعه قرار دادند. آنها در فواصل دور از جسم مرکزی، یعنی در شعاع ۵۲ واحد نجومی، یک توزیع شبه صخره‌ای در توزیع چگالی سطحی مشاهده کردند. البته وقتی فاصله تغییر می‌کند این توزیع ناپدید می‌شود. در واقع این توزیع توسط نتایج این تحقیق قابل توجیه است [۲۶].

برای مثال دیگر، می‌توان به ستاره جوان پس دی اس ۷۰ اشاره کرد. این ستاره جوان یک قرص پیش سیاره‌ای و در فاصله ۳۷۰ سال نوری در صورت فلکی قنطورس^۳ واقع شده است. در قرص پیش سیاره‌ای گپ (شکاف)‌های غولی^۴ مشاهده می‌شوند که مقارن نیستند [۲۷]. این عدم تقارن با توجه به نتایج این مقاله به خوبی قابل توجیه است؛ در صورتی که مدل‌های دیگر توضیح قابل قبولی ارائه نمی‌دهند.

به عنوان کاربرد آخر، می‌توان به قرص‌های پیش سیاره‌ای در منظمه‌های دوتایی اشاره کرد. اگرچه این تحقیق خود را محدود به قرص‌های پیش سیاره‌ای در سامانه ستاره-سیاره‌ای کرد. اما نتایج حاصله با اندکی تغییر قابل تعمیم به این منظمه‌ها نیز هستند که بحث این تحقیق نیست. اما مثال‌هایی از این دست را می‌توان در مقاله دامجن و همکاران به تفصیل مورد تحقیق و بررسی قرار داد [۲۸].

پیوست

پیوست ۱. تحلیل ریاضی

در این قسمت ما برخی از خواص مهم چند جمله‌ای لزاندر را بررسی می‌کنیم، که در برخی روابط اهمیت دارند [۲۹]. برای شروع، بیان تابع مولد از آنها را مفید می‌دانیم:

$$\frac{1}{\sqrt{1-2zt+t^2}} = \sum_{n=0}^{\infty} P_n(z) t^n, \quad (\text{پ-۱})$$

z, t متغیرهای اختیاری هستند. ضریب t^n چند جمله‌ای z

۱. PDS 70

۲. PDS 70

۳. Centaurus

۴. Giant Gap

$$\int_{-1}^1 P_n(x) dx = 0 \quad \text{for } (n \geq 1), \quad (10-\beta)$$

and $\int_{-1}^1 P_n^*(x) dx = \frac{2}{2n+1},$

از این رو انتگرال‌گیری از رابطه (۸) ما را به نتیجه زیر می‌رساند:

$$\Xi_x = \frac{2}{\Sigma_0} \frac{d\Sigma_0}{dx} - \sum_{n=1}^{\infty} \frac{2}{2n+1} \frac{\Sigma_n}{\Sigma_0} \frac{d\Sigma_n}{dx}, \quad (11-\beta)$$

روش مشابه این کار، برای انتگرال زیر می‌تواند باشد:

$$\Xi_x = \int_0^\pi \frac{d}{d\phi} \ln \left(\sum_{n=0}^{\infty} (\Sigma_n P_n(\cos\phi)) \right) d\cos\phi, \quad (12-\beta)$$

$$\begin{aligned} &\equiv \left(\frac{1}{\Sigma_0} \frac{d\Sigma_0}{dx} + \frac{1}{\Sigma_0} \frac{d\Sigma_1}{dx} \frac{P_1(\cos\phi)}{P_0(\cos\phi)} + \dots \right) \\ &\quad \left(1 - \frac{\Sigma_1}{\Sigma_0} \frac{P_1(\cos\phi)}{P_0(\cos\phi)} - \dots \right), \end{aligned} \quad (8-\beta)$$

ساده شده رابطه بالا عبارت است از:

$$\begin{aligned} &\frac{1}{\Sigma_0} \frac{d\Sigma_0}{dx} + \frac{1}{\Sigma_0} \frac{d\Sigma_1}{dx} \frac{P_1(\cos\phi)}{P_0(\cos\phi)} - \\ &\frac{1}{\Sigma_0 P_0(\cos\phi)} \sum_{n=1}^{\infty} \frac{d\Sigma_n}{dx} P_n(\cos\phi) - \\ &\frac{1}{\Sigma_0^* P_0^*(\cos\phi)} \sum_{n=1}^{\infty} \Sigma_n \frac{d\Sigma_n}{dx} P_n^*(\cos\phi), \end{aligned} \quad (9-\beta)$$

از طرف دیگر داریم:

مراجع

1. N I Shakura and R A Sunyaev, *Astron. Astrophys.* **24** (1973) 337355.
2. J E Pringle, *Annu. Rev. Astron. Astrophys.* **19** (1981) 137.
3. S Ichimaru, *Astrophys. J.* **214** (1977) 840.
4. R Narayan and I Yi, *arXiv preprint astro-ph/9403052* (1994).
5. M A Abramowicz, *et al.*, *arXiv preprint astro-ph/9409018* (1995).
6. M A Abramowicz, *et al.*, *Astrophys. J.* **332** (1988) 646.
7. M J Rees, *et al.*, *Nature* **295** (1982) 17.
8. J M Bardeen and J A Pettersson, *Astrophys. J.* **195** (1975) L65.
9. G I Ogilvie, *Mon. Notices Royal Astron. Soc.* **304**, 3 (1999) 557.
10. G I Ogilvie, *Annu. Rev. Astron. Astrophys.* **52** (2014) 171.
12. M A Abramowicz, *et al.*, *Astrophys. J.* **438** (1995) L37.
13. M A Abramowicz, *et al.*, *Astrophys. J.* **332** (1988) 646.
14. M J Rees, *et al.*, *Nature* **295** (1982) 17.
15. R Narayan and I Yi, *Astrophys. J.* **452** (1995) 710.
16. C L Jiao and X B Wu, *Astrophys. J.* **733**, 2 (2011) 112.
17. Sh Abbassi, E Nourbakhsh, and M Shadmehri, *Astrophys. J.* **765**, 2 (2013) 96.
18. A Khesali and M Motamedi Koochaksarayi, *Mon. Notices Royal Astron. Soc.* **433**, 4 (2013) 2850.
19. A Mosallanezhad, S Abbassi, and N Beiranvand, *Mon. Notices Royal Astron. Soc.* **437**, 4 (2014) 3112.
20. M Shadmehri, *Mon. Notices Royal Astron. Soc.* **442**, 4 (2014) 3528.
21. M Gholipour, *New Astron.* **57** (2017) 43.
22. M Gholipour, *New Astron.* **67** (2019) 103.
23. W H Press, *et al.*, “Numerical recipes: example book C” Cambridge University Press (1992).
24. S Daemgen, S Correia, and M G Petr Gotzens, *Astron. Astrophys.* **540** (2012) A46.
25. J Hashimoto, *et al.*, *Astrophys. J. Lett.* **758**, 1 (2012) L19.
26. G B Arfken and H J Weber, “Mathematical Methods for Physicists” Elsevier (2011).
27. J Catherine, *et al.*, *Astrophys. J. Lett.* **823** (2016) 10.
28. C Favre, *et al.*, *Astrophys. J. Lett.* **862**, 1 (2018) L2.
29. S Nayakshin, *et al.*, *Mon. Notices Royal Astron. Soc.* **495**, 1 (2020) 285.